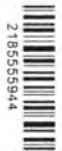


การสังเคราะห์พอดีที่โอฟินที่เป็นพอดีเมอร์ชนิดลอกแบบโนเลกุล



นางสาวสุภัตรา ศุกระกาญจน์



วิทยานิพนธ์นี้เป็นส่วนหนึ่งของการศึกษาตามหลักสูตรปริญญาวิทยาศาสตร์มหาบัณฑิต  
สาขาวิชาปิโตรเคมีและวิทยาศาสตร์พอลิเมอร์  
คณะวิทยาศาสตร์ จุฬาลงกรณ์มหาวิทยาลัย  
ปีการศึกษา 2556  
ลิขสิทธิ์ของจุฬาลงกรณ์มหาวิทยาลัย



SYNTHESIS OF MOLECULARLY IMPRINTED POLYTHIOPHENE

Miss Supattra Sukrakarn



28555594

A Thesis Submitted in Partial Fulfillment of the Requirements  
for the Degree of Master of Science Program in Petrochemistry and Polymer  
Science  
Faculty of Science  
Chulalongkorn University  
Academic Year 2013  
Copyright of Chulalongkorn University

Accepted by the Faculty of Science, Chulalongkorn University in Partial  
Fulfillment of the Requirements for the Master's Degree

S. Hannongbua Dean of the Faculty of Science  
(Professor Supot Hannongbua, Dr.rer.nat.)

THEESIS COMMITTEE  Chairman

(Professor Tharapong Vitidsant, Ph.D.)

(Assistant Professor Yongsak Sritana-anant, Ph.D.)

*[Handwritten signature]* Examiner

(Associate Professor Mongkol Sukwattanasinitt, Ph.D.)

Rattaporn Thong External Exam

(Assistant Professor Patterson Thompson, Ph.D.)

(Assistant Professor Rattaporn Mongkum, Ph.D.)

**สุภารา ศุกระกาญจน์ : การสังเคราะห์พอลิไทโอลีฟินที่เป็นพอลิเมอร์ชนิดลอกแบบโมเลกุล. (SYNTHESIS OF MOLECULARLY IMPRINTED POLYTHIOPHENE) อ.ที่ปรึกษาวิทยานิพนธ์หลัก: ผศ. ดร.ยงศักดิ์ ศรีรอนานนต์, 101 หน้า.**

ไดเอทิล 3,4-ไดแอลกอฮอลีไทด์ 2,5-ไดคาร์บอซิเลตด้วยปฏิกิริยาวิลเลียมสัน ของอีเทอเรฟิเชชัน จะได้ออนุพันธ์ของไทด์ 2,5-ไดคาร์บอซิเลต (3) ชนิดต่างๆ ในปริมาณถึง 87% ปฏิกิริยาไฮโดรไอลีซของไดเอทิลเอสเทอร์เหล่านี้จะได้สารไดแอชิด (4) มากถึง 96% หลังจากนั้น ทำปฏิกิริยาที่รวมขั้นตอนดีكار์บอซิเลชันและไฮโลจีเนชันด้วยกัน พบร่วมได้ 2,5-ไดโบรโน-3,4-เอทิลีนไดออกซีไทด์ (7b) มองเอมอร์ 77% ซึ่งสูงกว่าปฏิกิริยาแบบแยกเป็นสองขั้นตอน พอลิเมอร์ลอกแบบโมเลกุลชนิดพอลิ(3,4-เอทิลีนไดออกซีไทด์) สังเคราะห์ได้จากมองเอมอร์ (7b) ด้วยปฏิกิริยาพอลิเมอไรเซชันแบบเฟสของแข็งที่มีโมเลกุลแม่แบบคือ 2,4,6-ไดรainerฟีนอลและ 2,4,6-ไดรainerโตรโกลูอีน พอลิเมอร์ลอกแบบโมเลกุลนี้สามารถจดจำโมเลกุลแม่แบบได้โดยทำการติดตามด้วยเทคนิคยูวี-วิสิเบิล สเปกโตรสโคปี ผลการศึกษาพบว่าพอลิเมอร์ลอกแบบโมเลกุลมีค่าการดูดซับจำเพาะ ( $\Delta Q$ ) สำหรับโมเลกุล 2,4,6-ไดรainerฟีนอลเท่ากับ  $128.41 \mu\text{mol/g}$  และสำหรับโมเลกุล 2,4,6-ไดรainerโตรโกลูอีนเท่ากับ  $103.63 \mu\text{mol/g}$  นอกจากนี้ยังพบว่าพอลิเมอร์ลอกแบบโมเลกุลแต่ละชนิดมีความสามารถในการจดจำ 2,4,6-ไดรainerฟีนอลและ 2,4,6-ไดรainerโตรโกลูอีนเท่ากับ 38.64% และ 28.63% ตามลำดับ การศึกษาการสลับคูโมเลกุลแม่แบบยืนยันว่าพอลิเมอร์ลอกแบบโมเลกุลมีความจำเพาะในการเลือกจับโมเลกุลที่ลอกแบบมาเท่านั้น การศึกษาการสลับคูโมเลกุลแม่แบบยืนยันว่าพอลิเมอร์ลอกแบบโมเลกุลมีความจำเพาะเจาะจงในการเลือกจับโมเลกุลที่ลอกแบบมาเท่านั้น ผลการทดลองนี้แสดงให้เห็นว่าพอลิ(3,4-เอทิลีนไดออกซีไทด์) สามารถใช้เป็นโครงสร้างเพื่อการลอกแบบโมเลกุลและพัฒนาเพื่อใช้เป็นเช็นเชอร์สำหรับการตรวจดักทางเคมีที่จำเพาะสำหรับสารบางชนิดได้

2185555944  


# # 5472139223 : MAJOR PETROCHEMISTRY AND POLYMER SCIENCE

KEYWORDS: PEDOT / MOLECULARLY IMPRINTED POLYMER / SOLID STATE  
POLYMERIZATION / CHEMICAL SENSOR

SUPATTRA SUKRAKARN: SYNTHESIS OF MOLECULARLY IMPRINTED  
POLYTHIOPHENE. ADVISOR: ASST. PROF. YONGSAK SRITANA-ANANT, Ph.D.,  
101 pp.

Williamson etherifications of diethyl 3,4-dialkoxythiophene-2,5-dicarboxylate (DDTD) yielded the desired thiophene dicarboxylate derivatives (3) in up to 87% yield. Hydrolysis of these diethylesters afforded the diacids (4) in up to 96% yield. One pot synthesis by combining decarboxylation and bromination steps was carried out giving the dibromo product (7b) in 77% yield, higher than that was obtained from the corresponding separated steps. Molecularly imprinted polymers (MIPs) based on PEDOT were prepared from monomer (7b) by solid state polymerization (SSP) in the presence of templates molecules: 2,4,6-trinitrophenol (TNP) or 2,4,6-trinitrotoluene (TNT). The resulting conjugated MIPs exhibited the recognition of its template molecules compared to non-imprinted polymers (NIPs) in the binding experiments monitored by UV-Vis spectroscopy. The result was found that the specific adsorption values ( $\Delta Q$ ) of TNP and TNT molecules bound to the MIPs were 128.41 and 103.63  $\mu\text{mol/g}$ , respectively. The rebinding capacities of the TNP-MIPs were 38.64% for TNP-MIPs and 28.63% for TNT-MIPs. Cross binding experiments confirmed the selectivity of the MIPs only towards their template molecules. These results showed that PEDOT could be imprinted and developed to be sensors for specific detection of selected template compounds.

2185555944  


Field of Study: Petrochemistry and  
Polymer Science

Academic Year: 2013

Student's Signature Supattra Sukrakarn

Advisor's Signature Yongsak Sritana-Anant

## ACKNOWLEDGEMENTS

My utmost gratitude goes to my thesis advisor, Assist. Prof. Yongsak Sritana-anant, for his expertise, kindness, support, and most of all, for his patience during the course of research including completing this thesis.

I am sincerely grateful to the members of the thesis committee, Prof. Tharapong Vitidsant, Assoc. Prof. Mongkol Sukwattanasinitt and Assist. Prof. Rattaporn Thonggoom for their valuable comments and suggestions.

I would like to thank Assoc. Prof. Buncha Pulpoka for providing samples of tetraphenylporphyrin compound (TPP) used in this research.

I gratefully acknowledge the members of the research groups on the fourteenth floor, Mahamakut building for their companionship and friendship.

Finally, I would like to take this opportunity to express my sincere appreciation and thanks to my parents and Chulalongkorn University.



## CONTENTS

|   | Page |
|---|------|
| THAI ABSTRACT .....   | iv   |
| ENGLISH ABSTRACT .....  | v    |
| ACKNOWLEDGEMENTS .....  | vi   |
| CONTENTS .....  | vii  |
| LIST OF TABLES .....  | x    |
| LIST OF FIGURES .....   | xi   |
| LIST OF ABBREVIATIONS .....                                     | xiii |
| CHAPTER I INTRODUCTION .....                                    | 1    |
| 1.1 A Brief History of Imprinting .....                         | 1    |
| 1.2 General Principle of Molecularly Imprinting Technique ..... | 1    |
| 1.3 The Covalent Imprinting Approach .....                      | 3    |
| 1.4 The Non-covalent Imprinting Approach .....                  | 4    |
| 1.4.1 Functional monomers .....                                 | 5    |
| 1.4.2 Cross-linkers .....                                       | 6    |
| 1.4.3 Solvents .....  | 6    |
| 1.5 The Semi-covalent Imprinting Approach .....                 | 8    |
| 1.6 Applications of Molecularly Imprinted Polymers (MIPs) ..... | 9    |
| 1.7 Polythiophene .....   | 10   |
| 1.8 Solid State Polymerization of PEDOT .....                   | 10   |
| 1.9 Literature Reviews .....                                    | 13   |
| 1.10 Objectives .....   | 16   |
| CHAPTER II EXPERIMENTS .....                                    | 17   |
| 2.1 Chemicals .....   | 17   |
| 2.2 Instruments and equipment .....                             | 18   |
| 2.3 Monomer synthesis .....                                     | 18   |
| 2.3.1 Ethyl chloroacetate 1 .....                               | 18   |
| 2.3.2 Diethyl thioglycolate 2 .....                             | 19   |



218555944

|   | Page |
|---|------|
| 2.3.3 Diethyl 3,4-dihydroxythiophene-2,5-dicarboxylate (DDTD).....                                      | 19   |
| 2.3.4 Diethyl 3,4-dimethoxythiophene-2,5-dicarboxylate 3a.....  | 20   |
| 2.3.5 Diethyl 2,3-dihydrothieno[3,4- <i>b</i> ]-1,4-dioxine-5,7dicarboxylate 3b.....                    | 20   |
| 2.3.6 Diethyl 2-(hydroxymethyl)-2,3-dihydrothieno[3,4- <i>b</i> ]-1,4-dioxine-5,7-dicarboxylate 3c..... | 21   |
| 2.3.7 3,4-Dialkoxythiophene-2,5-dicarboxylic acid 4 .....   | 22   |
| 2.3.7.1 3,4-Dimethoxythiophene-2,5-dicarboxylic acid 4a.....  | 22   |
| 2.3.7.2 2,3-Dihydrothieno[3,4- <i>b</i> ]-1,4-dioxine-5,7-dicarboxylic acid 4b .....                    | 23   |
| 2.3.7.3 3,4-Dihydroxy-2,5-dicarboxylic acid 4d.....   | 23   |
| 2.3.8 3,4-Dialkoxythiophenes 5 .....  | 24   |
| 2.3.8.1 3,4-Dimethoxythiophene 5a .....   | 24   |
| 2.3.8.2 2,3-Dihydrothieno[3,4- <i>b</i> ]-1,4-dioxine (EDOT, 5b).....                                   | 25   |
| 2.3.9 2,3-Dihydrothieno[3,4- <i>b</i> ]-1,4-dioxin-2-yl methanol (EDTM, 6) .....                        | 25   |
| 2.3.10 Brominations of thiophene derivatives 7 .....  | 26   |
| 2.3.10.1 2,5-Dibromo-3,4-dimethoxythiophene (DBDMT, 7a).....  | 26   |
| 2.3.10.2 2,5-Dibromo-3,4-ethylenedioxythiophene (DBEDOT, 7b).....                                       | 27   |
| 2.3.10.3 2,5-Dibromo[3,4- <i>b</i> ]-1,4-dioxin-2-yl methanol (DBEDTM, 7c) .....                        | 27   |
| 2.3.11 Bromodecarboxylation of 3,4-dialkoxythiophene-2,5-dicarboxylic acid (4) .....                    | 28   |
| 2.3.11.1 2,5-Dibromo-3,4-dimethoxythiophene (DBDMT, 7a).....  | 28   |
| 2.3.11.2 2,5-Dibromo-3,4-ethylenedioxythiophene (DBEDOT, 7b) .....                                      | 29   |
| 2.4 Preparations of template molecules.....   | 29   |
| 2.4.1 2,4,6-Trinitrophenol (TNP) .....  | 29   |
| 2.4.2 2,4,6-Trinitrotoluene (TNT).....  | 30   |
| 2.5 Preparation of molecularly imprinted polymers (MIPs).....   | 31   |
| 2.6 Binding experiments.....  | 32   |
| 2.7 Rebinding experiments .....   | 33   |
| CHAPTER III RESULTS AND DISCUSSION.....   | 34   |

2.85555944  


|  | Page |
|--|------|
| 3.1 Monomer Synthesis .....  | 34   |
| 3.1.1 Diethyl thioglycolate 2 .....  | 34   |
| 3.1.2 Diethyl 3,4-dihydroxythiophene-2,5-dicarboxylate (DDTD) .....              | 35   |
| 3.1.3 Substitutions on DDTD .....  | 36   |
| 3.1.4 Hydrolysis of diethylester derivatives .....                               | 38   |
| 3.1.5 Decarboxylations of dicarboxylic acid derivatives .....                    | 40   |
| 3.1.6 2,3-Dihydrothieno[3,4- <i>b</i> ]-1,4-dioxin-2-yl methanol (EDTM, 6) ..... | 41   |
| 3.1.7 Brominations of thiophene derivatives .....                                | 42   |
| 3.1.8 Bromodecarboxylation of 3,4-dialkoxythiophene-2,5-dicarboxylic acid 4      | 44   |
| 3.2 Preparations of template molecules .....                                     | 45   |
| 3.2.1 2,4,6-Trinitrophenol (TNP) .....   | 45   |
| 3.2.2 2,4,6-Trinitrotoluene (TNT) .....  | 45   |
| 3.3 Preparation of molecularly imprinted polymers (MIPs) .....                   | 46   |
| 3.3.1 Tetraphenylporphyrin (TPP) imprinting .....                                | 46   |
| 3.3.2 2,4,6-Trinitrophenol-molecularly imprinted polymers (TNP-MIPs) .....       | 49   |
| 3.3.3 2,4,6-Trinitrotoluene-molecularly imprinted polymers (TNT-MIPs) .....      | 51   |
| 3.4 Rebinding experiments .....  | 52   |
| 3.4.1 2,4,6-Trinitrophenol-molecularly imprinted polymers (TNP-MIPs) .....       | 52   |
| 3.4.2 2,4,6-Trinitrotoluene-molecularly imprinted polymers (TNT-MIPs) .....      | 53   |
| 3.5 Cross binding experiment .....   | 54   |
| CHAPTER IV CONCLUSION .....  | 56   |
| REFERENCES .....   | 59   |
| APPENDIX A .....   | 64   |
| APPENDIX B .....   | 94   |
| VITA .....   | 101  |



## LIST OF TABLES

| Table   | Page |
|---|------|
| 3.1 Conditions for the synthesis of compound 3a .....                 | 36   |
| 3.2 Conditions for the synthesis of compound 3b.....                  | 37   |
| 3.3 Conditions for the synthesis of compound 3c .....                 | 38   |
| 3.4 Hydrolysis of diethylester derivatives.....                       | 39   |
| 3.5 Decarboxylations of the diacid compounds 4.....                   | 40   |
| 3.6 Conditions for the synthesis of 6.....                            | 41   |
| 3.7 Conditions for synthesis of 7b.....                               | 42   |
| 3.8 Synthesis of 2,5-dibromo-3,4-dialkoxythiophene derivatives 7..... | 43   |
| 3.9 Bromodecarboxylations of the diacid compounds 4.....              | 44   |



## LIST OF FIGURES

| Figure  | Page |
|---|------|
| 1.1 Schematic representation of imprinting process.....   | 2    |
| 1.2 Some functional monomers used in non-covalent imprinting approach.....  | 5    |
| 1.3 Some common cross-likers used in non-covalent .....   | 6    |
| 1.4 Solid state polymerization of DBEDOT.....   | 12   |
| 1.5 Synthesis of PEDOT by acid-assisted polycondensation .....  | 13   |
| 3.1 The spectroscopic changes of TPP in dichloromethane with SSP-PEDOT at various times (0-9 h).....                              | 47   |
| 3.2 The changes in absorption spectra of TPP in ethyl acetate with SSP-PEDOT at various times (0-9 h).....                        | 48   |
| 3.3 The concentrations of TPP in ethyl acetate during binding process in the presence of TPP-MIPs and NIPs at various times ..... | 49   |
| 3.4 The concentrations of TNP in ethyl acetate solution in the presence of TNP-MIPs or NIPs at various times .....                | 50   |
| 3.5 The concentrations of TNT in ethyl acetate solution in the presence of TNT-MIPs or NIPs at various times .....                | 51   |
| 3.6 The concentrations of TNP in ethyl acetate solution in the presence of reused TNP-MIPs or NIPs at various times .....         | 53   |
| 3.7 The concentrations of TNT in ethyl acetate solution in the presence of reused TNT-MIPs or NIPs at various times .....         | 54   |
| 3.8 The concentrations of template solution in the presence of TNP-MIPs at various times .....                                    | 55   |
| 3.9 The concentrations of template solution in the presence of TNT-MIPs at various times .....                                    | 55   |



2185555944

## LIST OF SCHEMES

| Scheme  | Page |
|---|------|
| 3.1 Reagents and conditions for traditional synthesis ..... | 34   |
| 3.2 Mechanism of Hinsberg reaction to generate DDTD.....    | 35   |
| 3.3 Synthesis of compound 7b.....                           | 42   |
| 3.4 One pot synthesis of compound 7 .....                   | 44   |
| 3.5 Synthesis of 2,4,6-trinitrophenol (TNP).....            | 45   |
| 3.6 Synthesis of 2,4,6-trinitrotoluene (TNT).....           | 45   |
| 4.1 Synthesis of compound 7 .....                           | 56   |
| 4.2 Ether exchange reactions of 5a to compound 6.....       | 57   |



## LIST OF ABBREVIATIONS

|                             |  |
|-----------------------------|--|
| <sup>13</sup> C NMR         | : carbon-13 nuclear magnetic resonance spectroscopy          |
| cm <sup>-1</sup>            | : unit of wavenumber (IR)                                    |
| d                           | : doublet (NMR), day (s)                                     |
| DBEDOT                      | : 2,5-dibromo-3,4-ethylenedioxythiophene                     |
| DBEDTM                      | : 2,5-dibromo[3,4- <i>b</i> ]-1,4-dioxin-2-yl methanol       |
| DBDMT                       | : 2,5-dibromo-3,4-dimethoxythiophene                         |
| DMT                         | : 3,4-dimethoxythiophene                                     |
| DMF                         | : <i>N,N</i> -dimethylformamide                              |
| DMSO- <i>d</i> <sub>6</sub> | : hexadeuterated dimethyl sulfoxide                          |
| EDOT                        | : 3,4-ethylenedioxythiophene                                 |
| EDTM                        | : 2,3-dihydrothieno[3,4- <i>b</i> ]-1,4-dioxin-2-yl methanol |
| equiv                       | : equivalent (s)   |
| EtOAc                       | : ethyl acetate  |
| EtOH                        | : ethanol  |
| g                           | : gram (s)   |
| h                           | : hour (s)   |
| HCl                         | : hydrochloric acid  |
| Hz                          | : hertz (s)  |
| <sup>1</sup> H NMR          | : proton nuclear magnetic resonance spectroscopy             |
| IR                          | : infrared spectroscopy                                      |
| <i>J</i>                    | : coupling constant  |
| MIPs                        | : Molecularly imprinted polymers                             |
| M                           | : molar (s)  |
| m                           | : multiplet (NMR)  |
| MeOH                        | : methanol   |
| min                         | : minute   |
| mg                          | : milligram (s)  |
| mL                          | : milliliter (s)   |
| mmol                        | : millimole (s)  |

2 18555594  


|                        |   |
|------------------------|---|
| $\mu\text{mol}$        | : micromole (s)   |
| $\text{mM}$            | : millimolar  |
| m.p.                   | : melting point   |
| $\text{m/z}$           | : mass per charge ratio (s)   |
| MS                     | : mass spectrometry   |
| NIPs                   | : Non-imprinted polymers  |
| $\text{NaOH}$          | : sodium hydroxide  |
| NBS                    | : <i>N</i> -bromosuccinimide  |
| nm                     | : nanometer (s)   |
| $^{\circ}\text{C}$     | : degree Celsius  |
| ppm                    | : parts per million (unit of chemical shift)                            |
| PEDOT                  | : poly(3,4-ethylenedioxythiophene)                                      |
| PT                     | : polythiophene   |
| q                      | : quartet (NMR)   |
| Q                      | : The amounts of template molecules bound to the polymers               |
| $Q_{\text{MIPs}}$      | : The amounts of template molecules bound on the imprinted polymers     |
| $Q_{\text{NIPs}}$      | : The amounts of template molecules bound on the non-imprinted polymers |
| RT, rt                 | : room temperature  |
| s -                    | : singlet (NMR)   |
| st -                   | : stretching vibration (IR)   |
| SSP                    | : solid-state polymerization  |
| PTSA                   | : <i>p</i> -toluenesulfonic acid  |
| t                      | : triplet (NMR)   |
| TLC                    | : thin layer chromatography   |
| UV-Vis                 | : ultra-violet and visible spectroscopy                                 |
| V                      | : volume (mL)   |
| W                      | : The mass of the dried polymers (g)                                    |
| $\delta$               | : chemical shift  |
| $\lambda_{\text{max}}$ | : maximum wavelength  |

Z218555944

